

# DéTECTEURS CRYOGÉNIQUE Problématique générale de R&D Plateforme Cryo IP2I

***Journées thématiques Réseaux Semi-conducteurs***  
***10-11 Juin 2021***

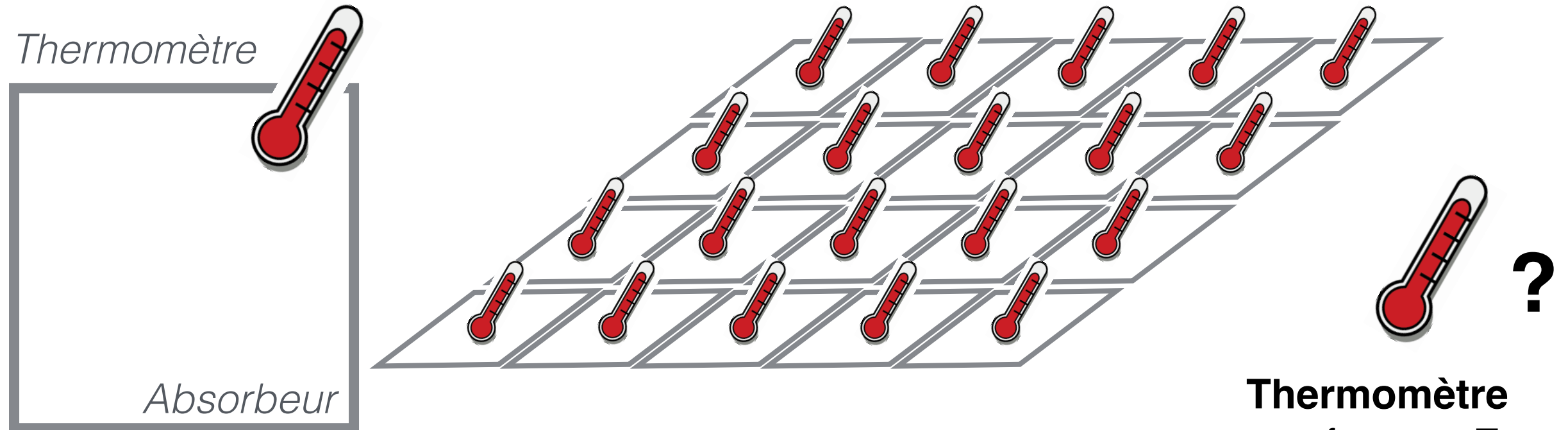
*Alex Juillard IP2I*



**IN2P3**  
Institut national de physique nucléaire  
et de physique des particules



# Détecteur cryo ??



## Bolomètre « massif »

- ◆ ~ g → ~ kg
- ◆ procédé de fabrication en partie « à la main »
- ◆ détection de particule « une à une »
- ◆ application principale : **detection d'»événements rares»**
  - Matière Noire
  - $0\nu\beta\beta$
  - CE $\nu$ NS

## Matrice de Bolomètre

- ◆ 1 → 100k « pixels »
- ◆ procédé de fabrication en partie « collectif »
- ◆ détection de particule « une à une » ou flux de puissance
- ◆ application principale : **Astro**
  - Sub-mm (50-600 Ghz)
  - X

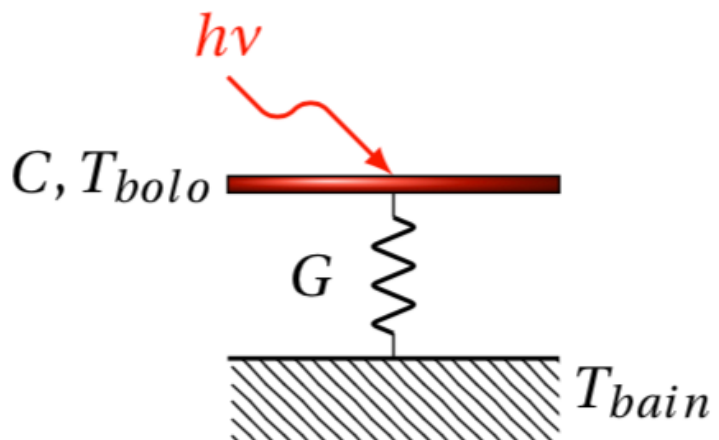
## Thermomètre

« transforme » T en grandeur mesurable

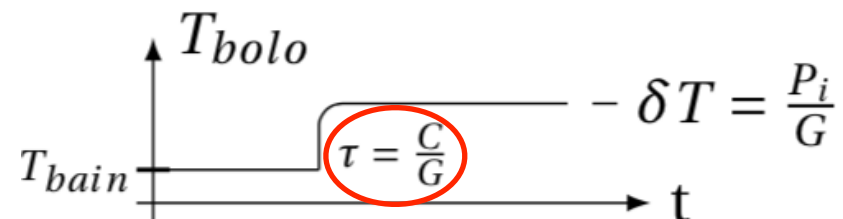
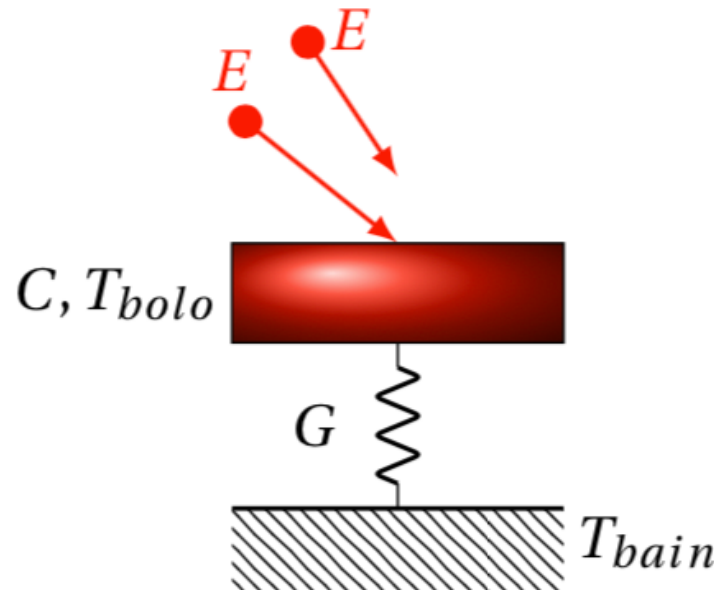
- ◆ Résistif
  - supraconducteur
  - Transition Métal-Isolant
- ◆ Magnétique
- ◆ avec médiateur hors d'équilibre
  - Paire de Cooper dans matériaux supra :
  - Kinetic Inductance vs  $dN_{qp}$
  - phonon hors d'équilibre peuvent « casser » des paires de Cooper

# Détecteur cryo ??

"background"/flux de photon

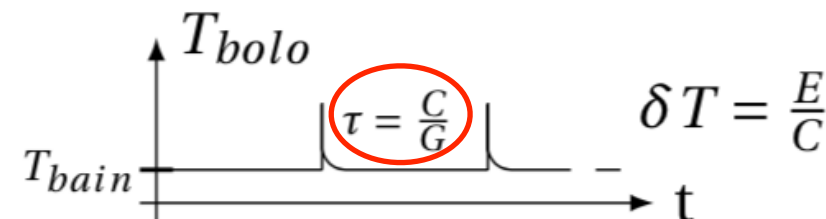


photons>eV/particules



## Mode « bolométrique »

- ◆ Réponse en C/G
- ◆ NEP =  $\sqrt{4k_B T^2 G}$  [W/ $\sqrt{\text{Hz}}$ ]



## Mode « calorimétrique »

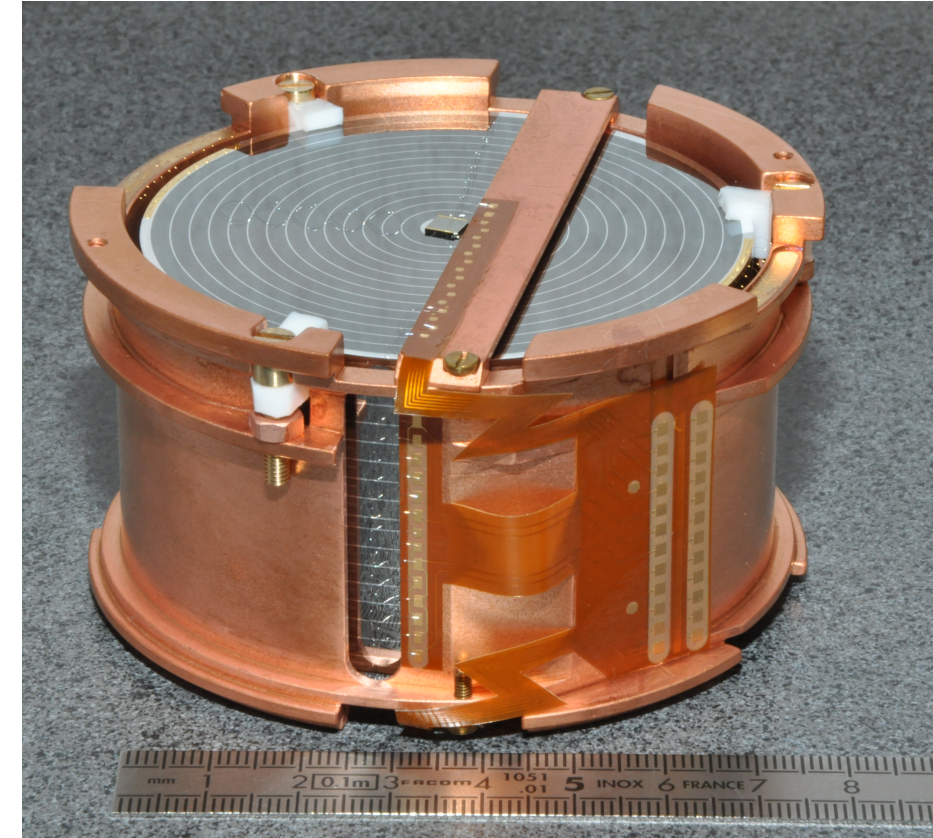
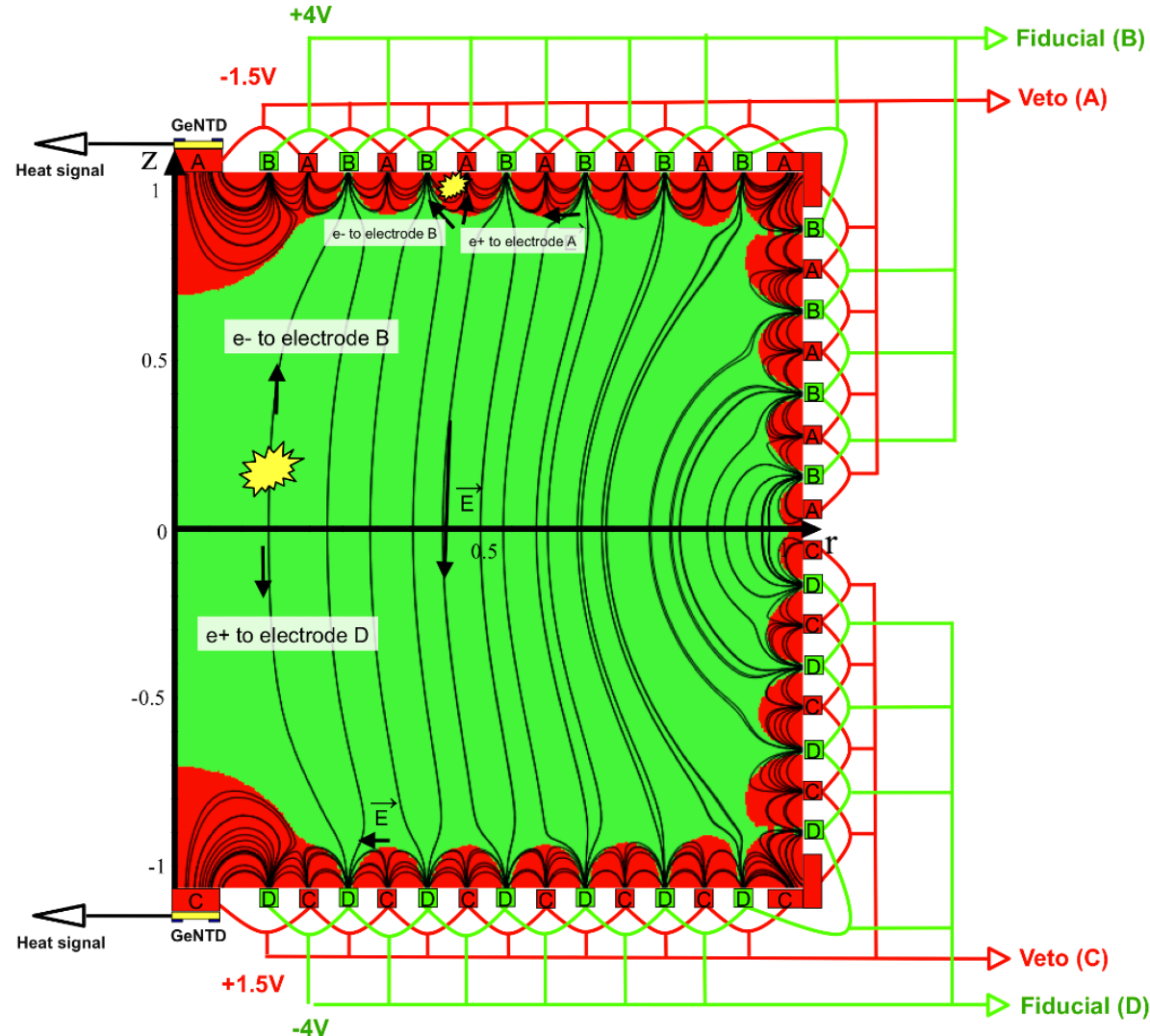
- ◆ Décroissance en C/G
- ◆  $\delta E = \sqrt{4k_B T^2 C}$  [J]

Il faut refroidir : sensibilité ↗ et bruit ↘

$T_{bain} \sim 10 \text{ mK} - 300 \text{ mK}$

**R&D = absorbeur + thermomètre +  
lectronique (adaptation Z, gain, readout) + environnement cryo**

# Cryo & Semi-conducteur

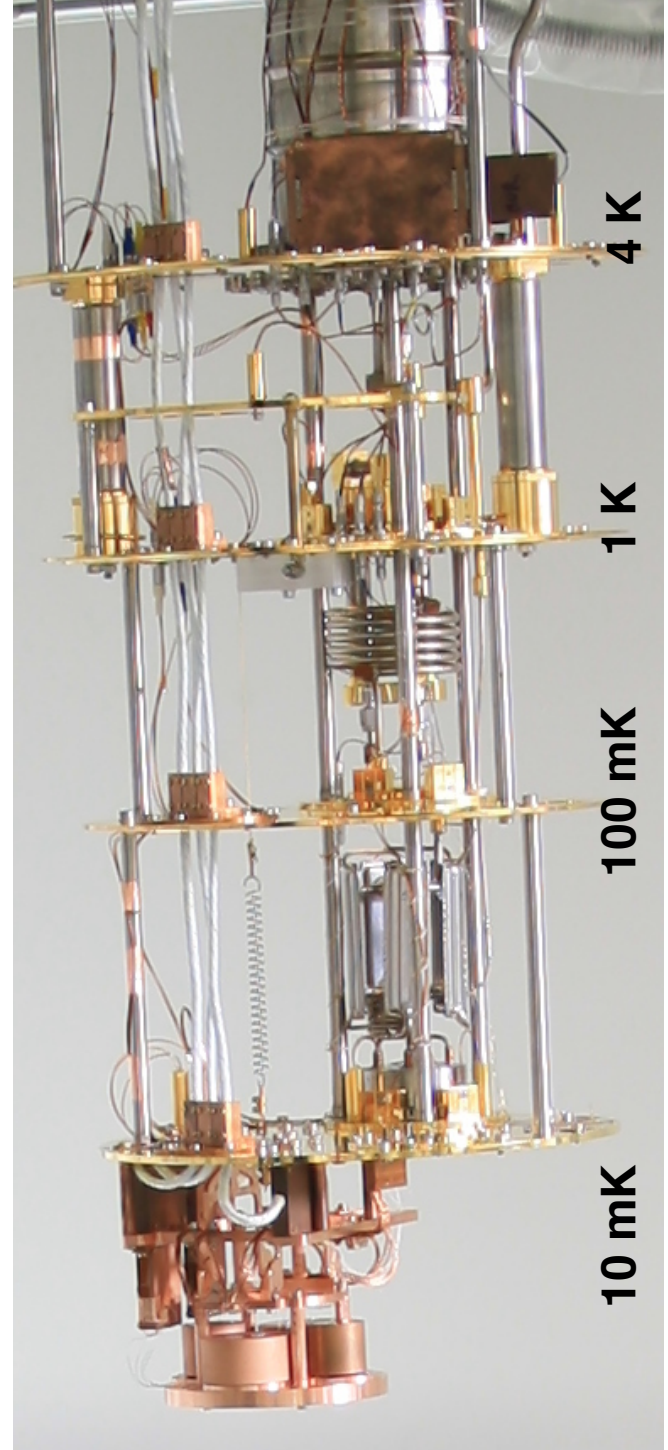
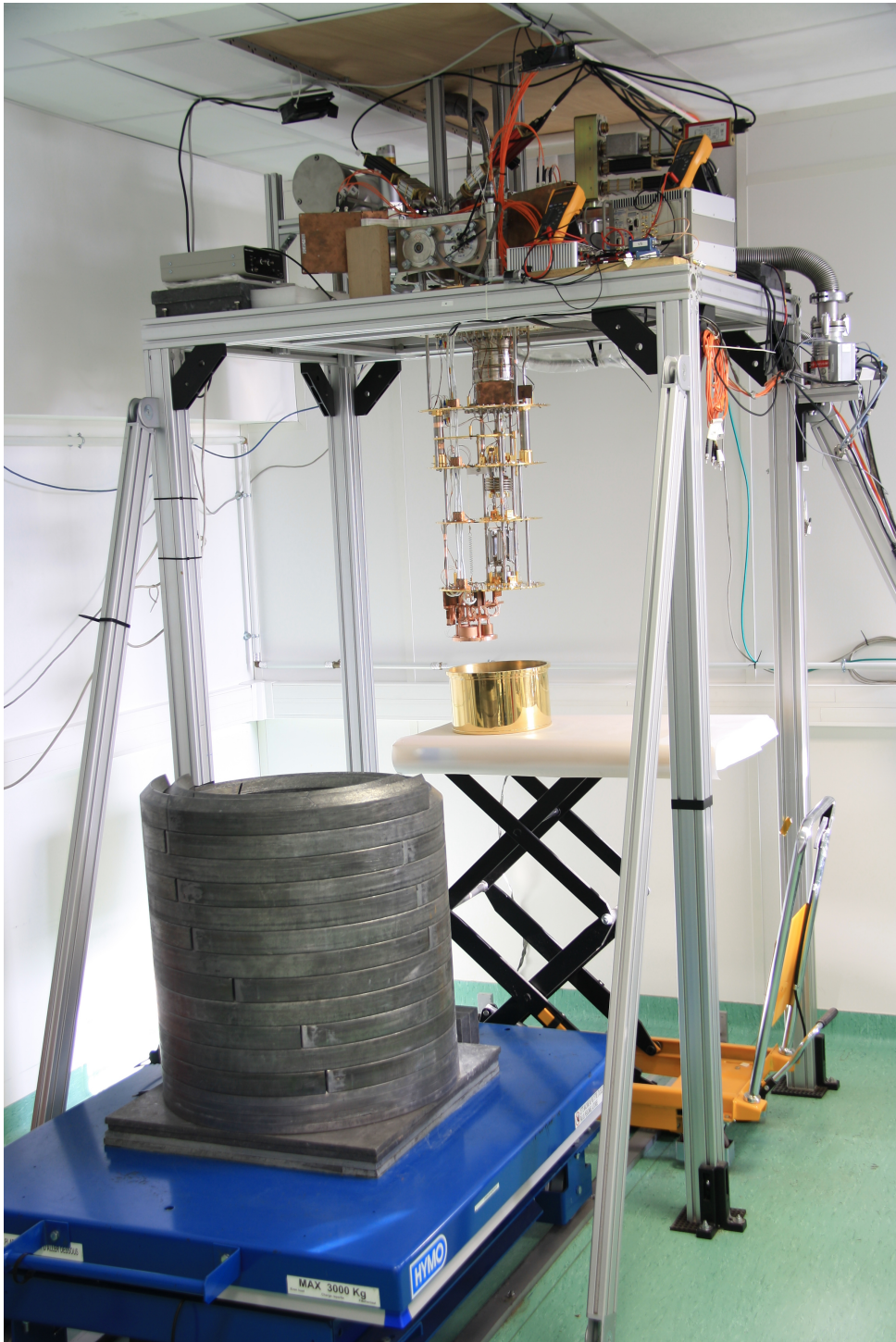


**FID800 (EDELWEISS-III)**  
**Ge ultra pur ( $10^{10}/\text{cm}^3$ )**

**Ge ou Si massif refroidi  $< 100\text{mK}$**

- ◆ **Double mesure chaleur et ionisation**
- ◆ **Identification de particule possible (recul nucléaire - recul électronique)**
  - **rejet du fond radioactif**
- ◆ « Shaping » possible du champ électrique appliqué par électrodes multiples
  - **rejet de certaine zone possible : ex surface**

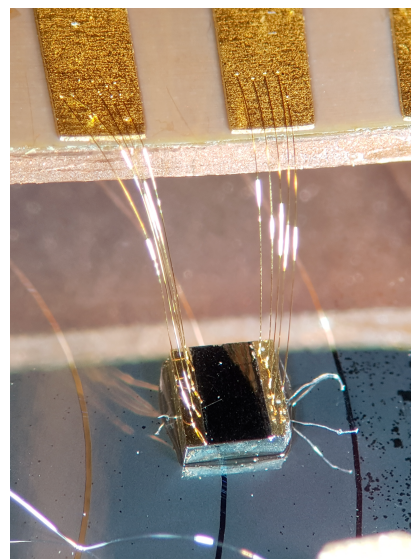
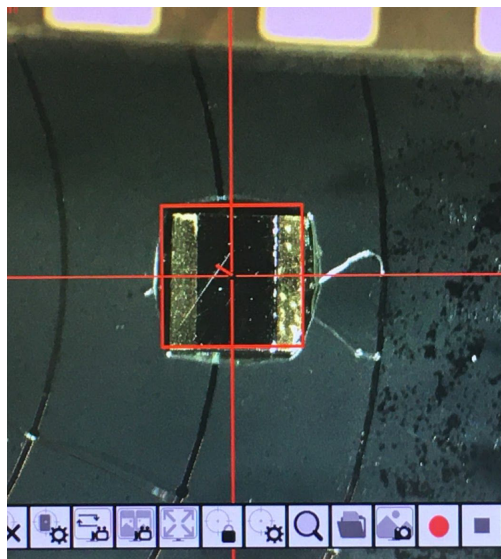
# Labo Cryo IP2I



## Cryostat Dry dilution He3-He4

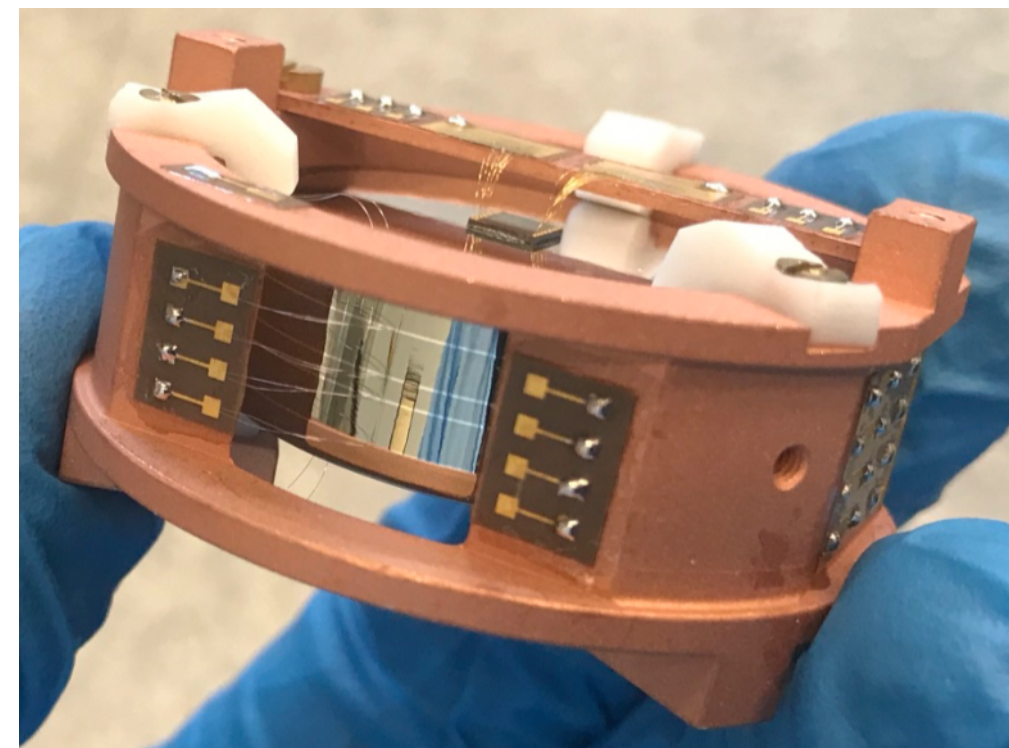
- ◆ 10 mK ss 48h
- ◆  $\Phi$ 30cm \* h20 cm utile @ 10mK
- ◆ Etage 1K, 4K et 50 K pour elec. froide
- ◆ Blindage Pb 2 tonnes

# Labo Cryo IP2I

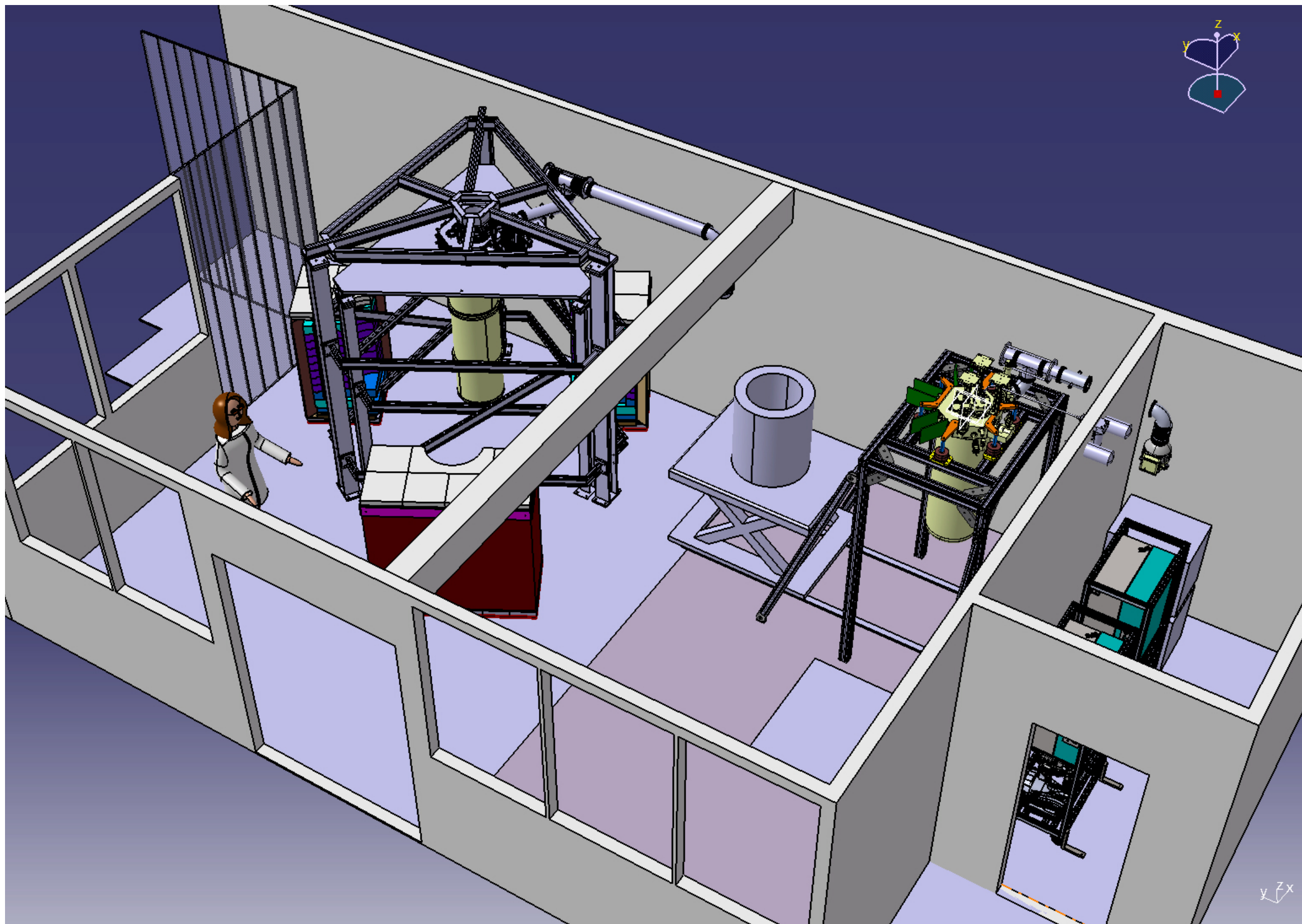


## Salle propre d'intégration

- ◆ Micro-manipulateur
  - collage Ge-NTD, Resist.
- ◆ Wire Bounder
  - contact NTD et electrodes
- ◆ Stockage propre sous flux N2



# Labo Cryo IP2I



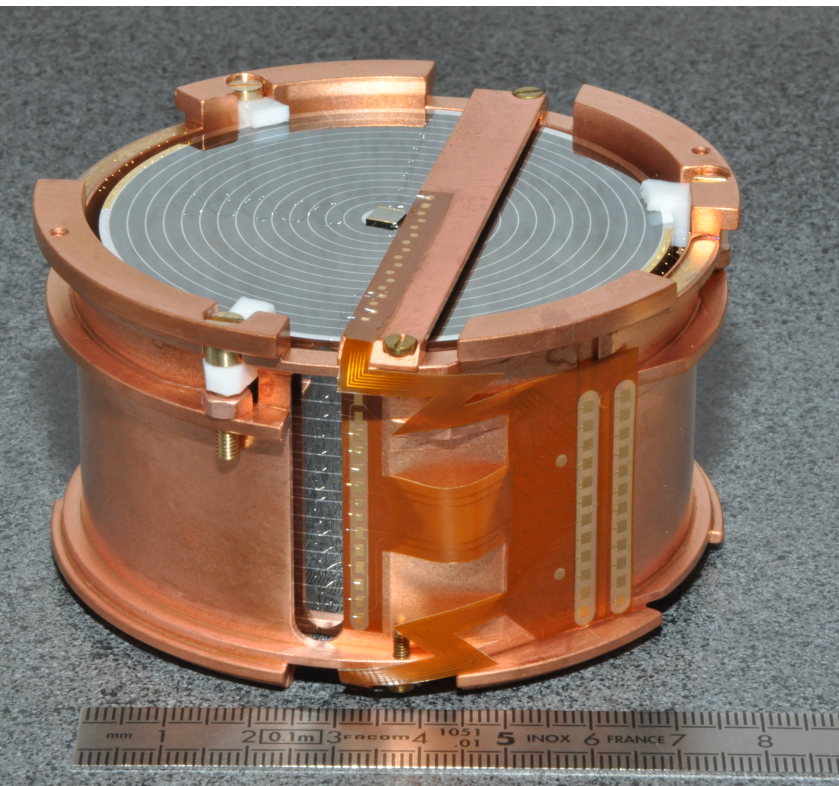
# Bolomètre massif : R&D IP2I

---

## Bolomètre massif : R&D IP2I Ge ionisation chaleur 2 développements principaux :

- ♦ « Crise » de la **Matière Noire** : aucun signe de détection directe + absence de nouvelle physique au LHC
  - « Fin » du WIMPs standard, Elargir la recherche (**EDELWEISS-SubGeV**)
- ♦ Recherche de nouvelle physique via mesure fine **CE $\nu$ NS (Coherent Elastic neutrino-nucleus scattering)**
  - pousser la discrimination à très bas seuil (**Ricochet**)
    - cf **présentation Jules Colas sur cette optimisation**

# Ex. de réalisation : EDELWEISS-III



**36 \* FID-800**

- ◆ **Ge 820 g**
- ◆ Thermomètres haute impédance Ge-NTD (cristal Ge dopé par neutron)
- ◆ 4 jeux d'électrodes Al pour collecte charge
  - Mesure simultanée **ionisation - chaleur**
  - Discrimination active du fond



## INSTRUMENT (> 2013)

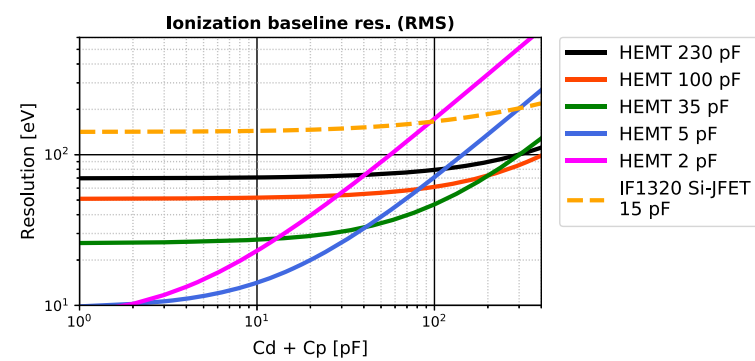
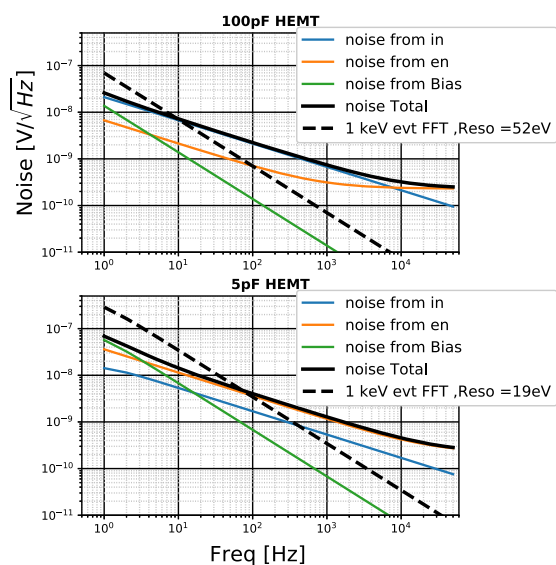
- ◆ **Cryostat 10mK + 40 tonnes blindages PE + Pb @ LSM**
- ◆ **3000 cables coaxes (6 km)**
- ◆ **350 transistors Si-FET @ 120K**
- ◆ **36\*2 « Bolometers Boxes » @ 300K**

# Prospective R&D : Ricochet

**Mesure de précision d'un signal connu !**

IPNL, IJCLab, LPSC, I. Néel

- ♦ changement de philosophie après la Matière Noire
- ♦ **Mesure du CE $\nu$ NS pour  $\nu$  de 5 MeV**  
(mesuré en 2018 @ 30 MeV)
- ♦ Cahier des charges « simple »
  - **1 kg Ge (27\*38g)**
  - **20 eV ion + 10eV chal**
- ♦ R&D en partie techno (transistor HEMT) et commune avec EDELWEISS

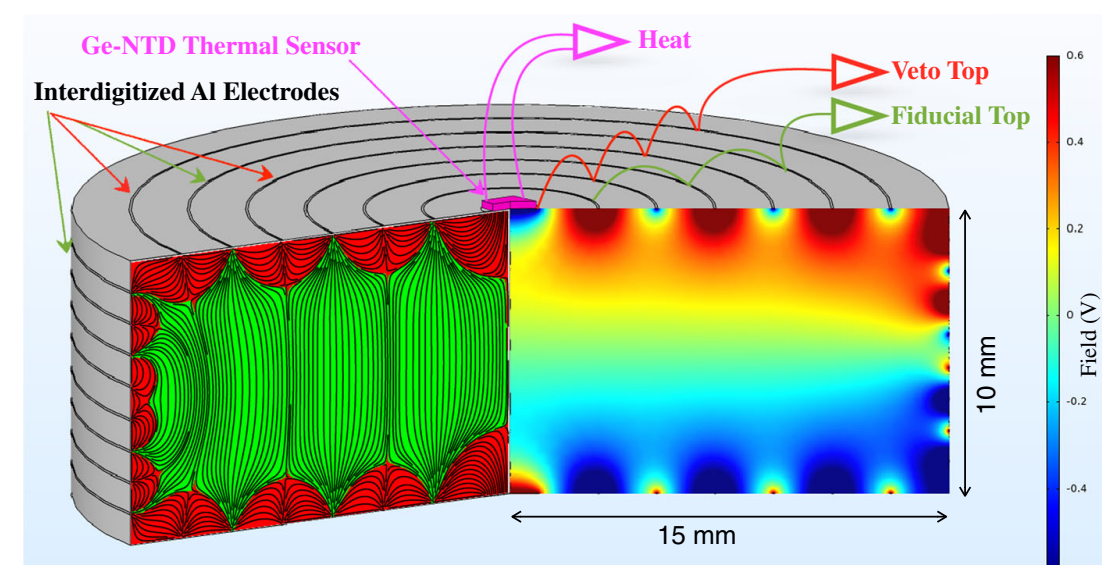


**Fig. 5** Left: Contribution to the ionization resolution of the voltage noise, current noise, bias resistor ( $10\text{ G}\Omega$  @ 20 mK). The total detector + cabling capacitance is 20 pF. 5 pF and 100 pF geometries have been studied. FFT of 1 keV event are shown. Right: Evolution of the resolution with the detector+cabling capacitance for the 5 HEMT geometries and the IF1320 Si-JFET from InterFET. Noise of the bias resistor is included. (Color figure online.)



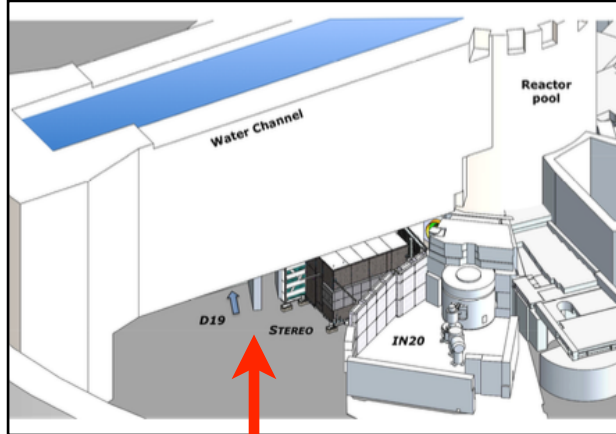
## Réacteur 60 MW @ ILL / Grenoble

- ♦ Installation Ricochet prévue 2022-23
- ♦ **programme à ~ 5 ans**



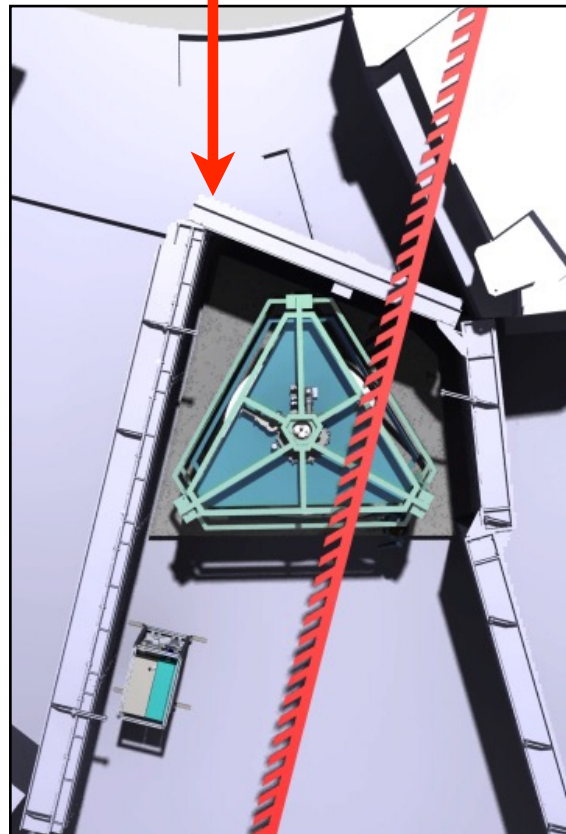
**Fig. 6** Electrostatic simulation of a Full Inter-Digitized electrodes scheme on a 38 g germanium crystal ( $\Phi = 30\text{ g}$ ,  $h = 10\text{ mm}$ ). The crystal is surrounded at 2 mm distance by a chassis connected to the ground (not shown). The capacitance of the 4 electrodes with respect to the ground is about 20 pF (Color figure online.)

# Ricochet @ ILL H7 : Basics of the proposed setup



**H7 site :**

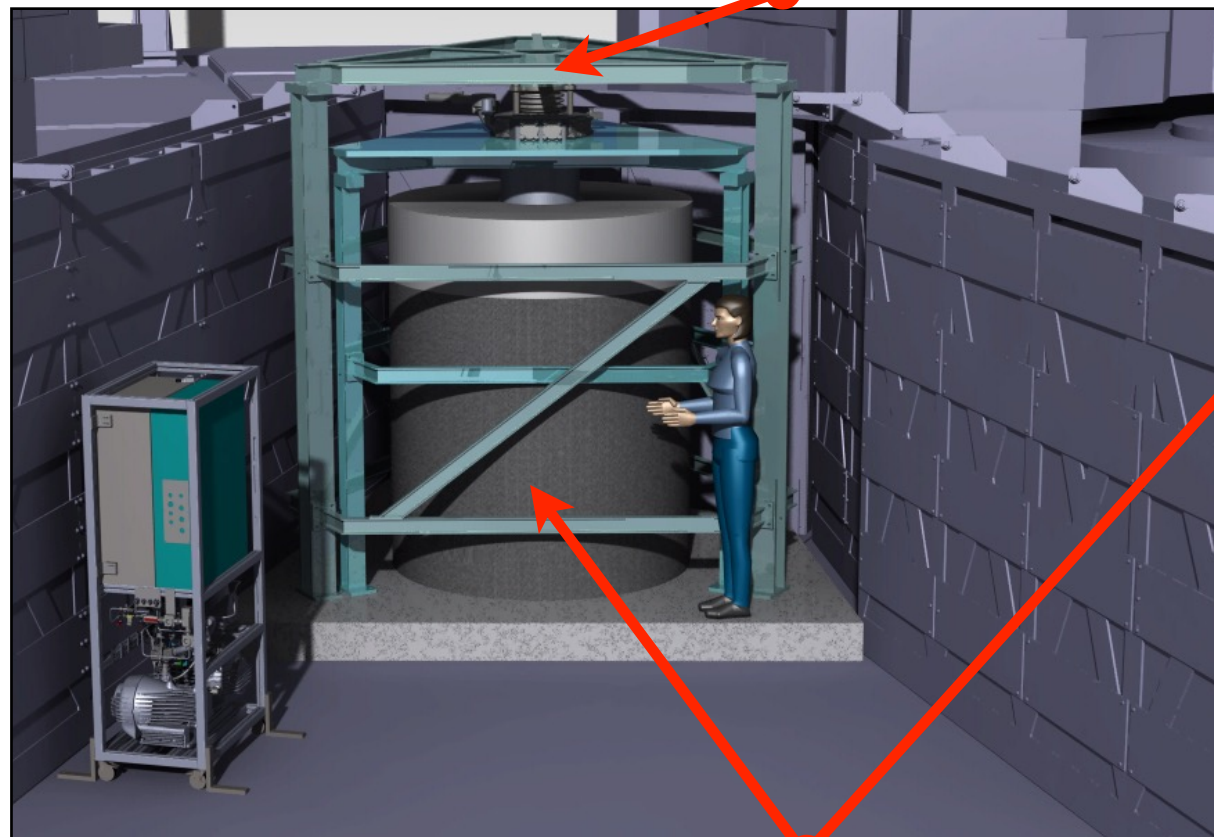
- currently Stereo exit
- close to reactor core
- water channel protection



## Ultra-low vibration He3/He4 dilution fridge :

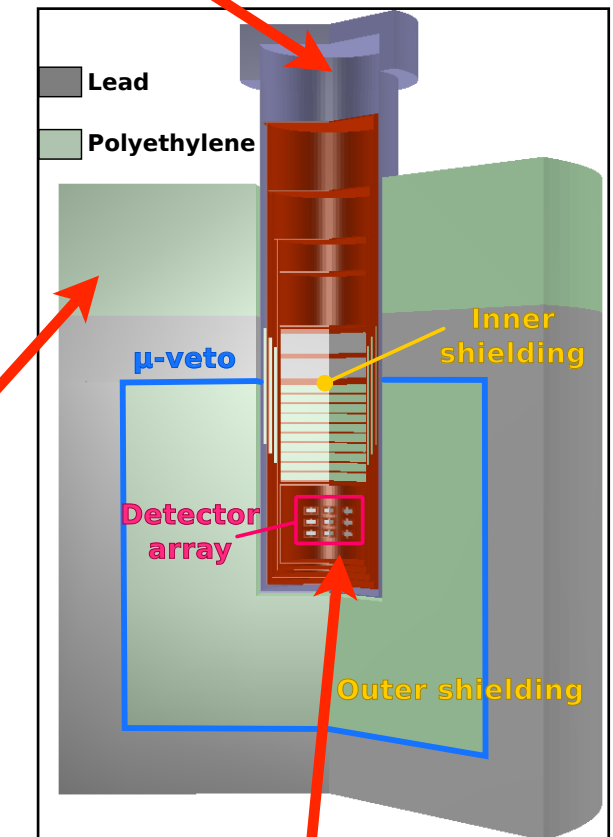
- double frame structure
- reaching 10 mK
- Funded by JINR Dubna, will be delivered at IP2I by spring 2021
- to be done : seismic and safety studies

**Help from ILL needed**



## Active Muon Veto :

- Should be based on few cm-thick plastic scintillator
- Works ongoing to select the best solution
- No safety issues expected



## Passive Shielding :

- PE + Lead : about 20 tons
- Geant4 model finalized
- General designed done
- Detailed mechanical arrangements & mechanical structure to be done

## The CryoCube :

- Low threshold cryogenic detector
- Particule Identification
- Funding secured thanks to the ERC starting grant
- R&D ongoing, production to be started in 2022

# Prospective R&D : CUPID

## CUPID

CUORE Upgrade with Particle Identification

- ◆ 30 instituts, 100aines de personnes
- ◆ Long **processus de selection des R&D**
  - <https://arxiv.org/abs/1504.03612>
- ◆ R&D France (**CUPID-Mo**, **CSNSM-IP2I-LAL** + CEA) **sélectionnée comme base de CUPID**
  - <https://arxiv.org/abs/1907.09376>
- ◆ Projet CROSS
- ◆ Détails dans contribution au GT06
- ◆ **programme à ~10 ans**

Parameter	CUPID	CUPID-reach	CUPID-1T
Crystal	$\text{Li}_2^{100}\text{MoO}_4$	$\text{Li}_2^{100}\text{MoO}_4$	$\text{Li}_2^{100}\text{MoO}_4$
Detector mass (kg)	472	472	1871
$^{100}\text{Mo}$ mass (kg)	253	253	1000
Energy resolution FWHM (keV)	5	5	5
Background index (counts/(keV kg y))	$10^{-4}$	$2 \times 10^{-5}$	$5 \times 10^{-6}$
Containment efficiency	79%	79%	79%
Selection efficiency	90%	90%	90%
Livetime (years)	10	10	10
Half-life exclusion sensitivity (90% C.L.)	$1.5 \times 10^{27}$ y	$2.3 \times 10^{27}$ y	$9.2 \times 10^{27}$ y
Half-life discovery sensitivity (3 $\sigma$ )	$1.1 \times 10^{27}$ y	$2 \times 10^{27}$ y	$8 \times 10^{27}$ y
exclusion sensitivity (90% C.L.)	10–17 meV	8.2–14 meV	4.1–6.8 meV
discovery sensitivity (3 $\sigma$ )	12–20 meV	8.8–15 meV	4.4–7.3 meV

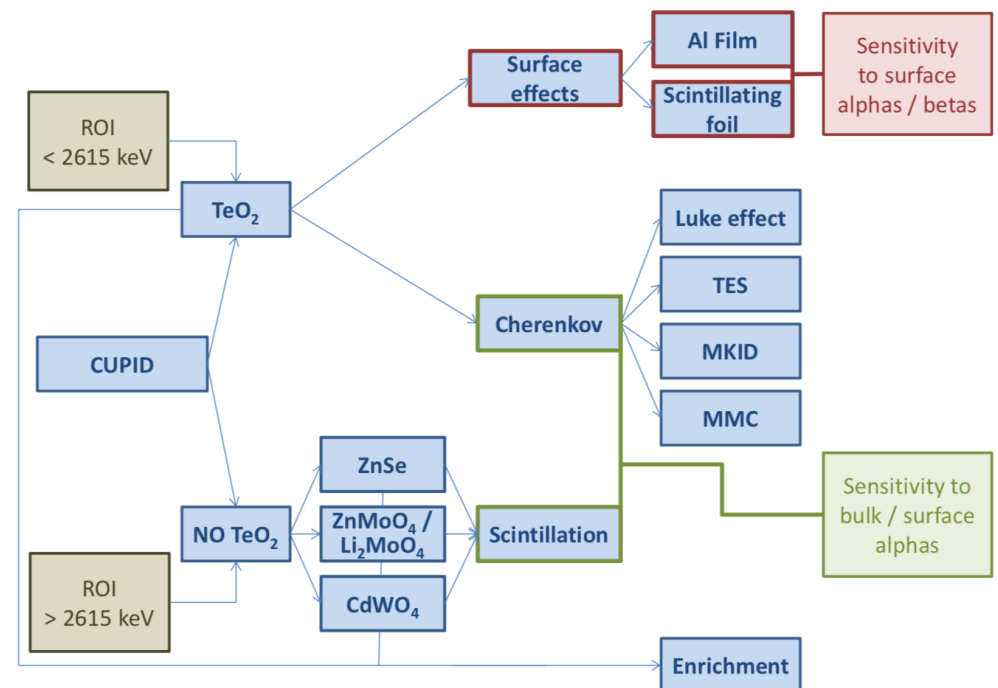


FIG. 1: Scheme of the R&D detector activities for CUPID

# Prospective R&D : EDW-Sub GeV

## « small is beautiful ! »

- ◆ Pas d'observation de WIMPs « standard » ( $M >$  qq GeV) avec des taux d'interactions  $< 1$  evt/tonne/an !
- ◆ Les détecteurs cryo ne sont plus compétitifs dans cette zone
- ◆ Intrinsèquement compétitif à basse masse (résolution et seuil)
- ◆ bonne nouvelle : si DM = Sub-GeV WIMPs il y en a donc beaucoup plus !
  - **1 kg de « bons » détecteurs est compétitif**
- ◆ Axion & ALPs : Reculs électroniques
  - ! fond parasite « chaleur seule »
- ◆ **Objectif R&D : IPNL IJCLab (+ CEA)**
  - Tenue en tension (courant fuite) pour **« boost » effet Luke**
  - Discrimination jusqu'à la **paire e-/h+ unique**
  - Changement de technologie elec. froid
    - Si-JFET → **HEMT** (C2N/CNRS)
- ◆ **programme à ~ 5 ans**

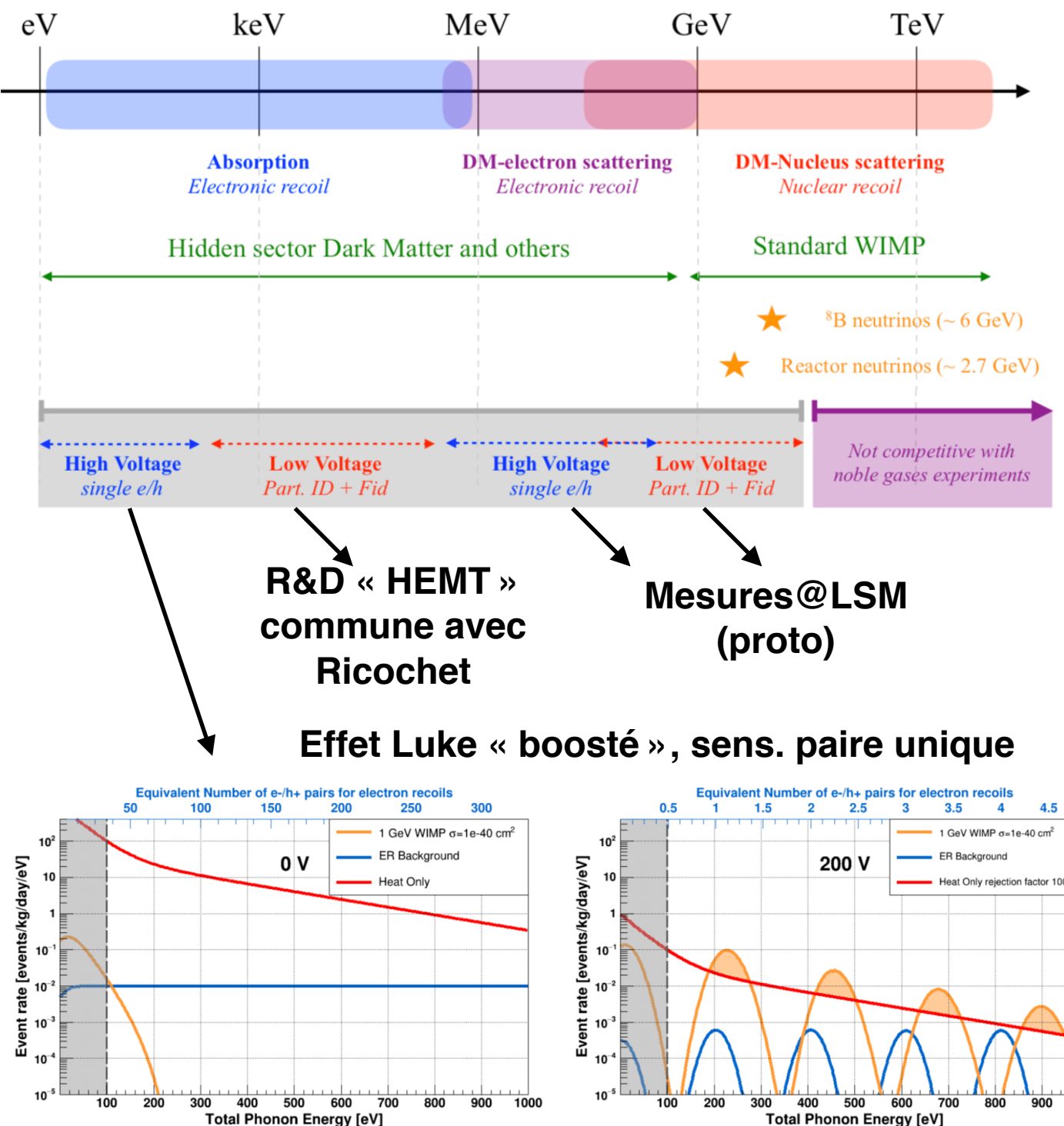


Figure 1: Response of the CRYOSEL detector operated at 0 V (left) and 200 V (right). Orange: expected NR signal for a  $1 \text{ GeV}/c^2$  WIMP with a scattering cross-section of  $10^{-40} \text{ cm}^2$ . The blue and red lines correspond to the ER and heat-only backgrounds observed in EDELWEISS detectors. The shape of the NR response is sensitive to the actual quenching factor and straggling effects for this type of interaction. In right panel a rejection factor of 1000 is considered for HO events.